



UNIVERSITÀ DI PISA

Corso di Laurea Magistrale in INGEGNERIA ROBOTICA E DELL'AUTOMAZIONE  
Robotica - Controllo dei robot

# **Analisi Non Lineare di un Pendolo inverso con attrito con linearizzazione in feedback e ibrida**

---

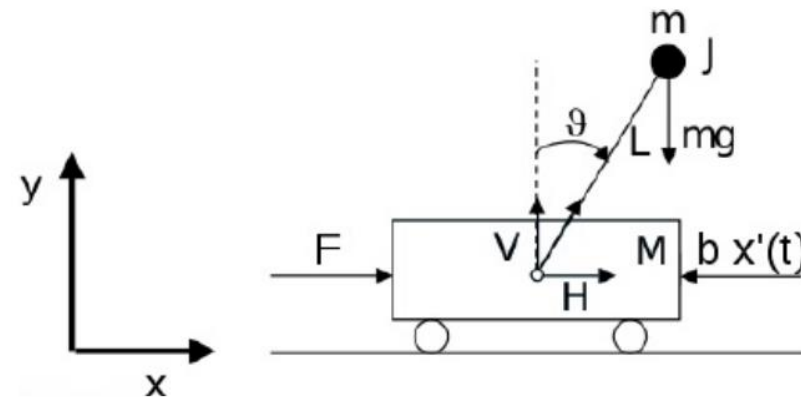
Docenti:  
Antonio Bicchi  
Giorgio Grioli

Supervisor del Progetto:  
Lucia Pallottino  
Paolo Salaris  
Alessandro Palleschi

Studente:  
Marco Borraccino

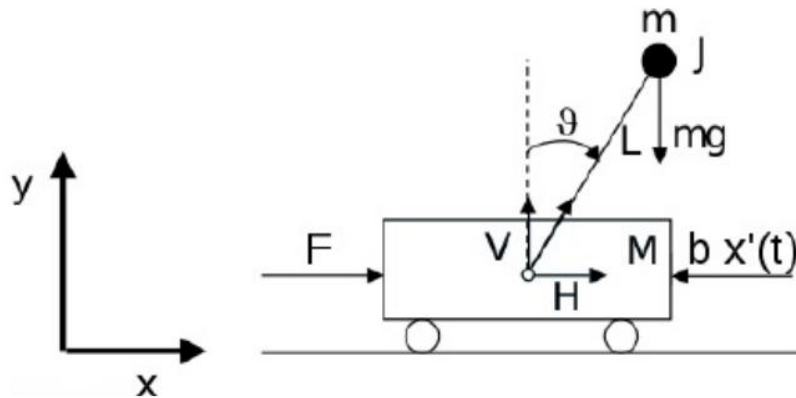
# Contenuti

- Modello dinamico
- Accessibilità e Controllabilità
- Osservabilità
- Linearizzazione in feedback
- Zero dinamica
- Simulazioni
- Linearizzazione ibrida



# Pendolo inverso

## Modello dinamico



Infiniti punti di equilibrio:

$$x_{eq1} = [x_d \ 0 \ \pm \pi \ 0] \quad x_{eq2} = [x_d \ 0 \ 0 \ 0]$$

Le equazioni dinamiche di un semplice pendolo inverso sono le seguenti:

$$\begin{cases} (M + m)\ddot{x} + b\dot{x} + mL\ddot{\vartheta}\cos(\vartheta) - mL\dot{\vartheta}^2\sin(\vartheta) = F \\ mL^2\ddot{\vartheta} + mL\ddot{x}\cos(\vartheta) - mgL\sin(\vartheta) = 0 \end{cases}$$

In cui si è considerato:

- Asta di massa e inerzia trascurabile;
- **Attrito lungo la componente  $x$** ;
- Unica forza esterna  $F$  che agisce direttamente sul carrello.



# Pendolo inverso

## Modello dinamico

Posto come vettore di stato:  $x = [x_1 \ x_2 \ x_3 \ x_4]^T = [x \ \dot{x} \ \vartheta \ \dot{\vartheta}]^T$  e l'unico ingresso:  $u(t) = F$

Posso riscrivere il problema in forma di stato come:

$$\begin{cases} \dot{x}_1 = x_2 \\ \dot{x}_2 = \frac{-b x_2 - mg \sin(x_3) \cos(x_3) + mL \sin(x_3) x_4^2 + u}{(M + m \sin^2(x_3))} \\ \dot{x}_3 = x_4 \\ \dot{x}_4 = \frac{g(M + m) \sin(x_3) + b x_2 \cos(x_3) - mL \sin(x_3) \cos(x_3) x_4^2 - u \cos(x_3)}{L (M + m \sin^2(x_3))} \end{cases}$$



# Pendolo inverso

## Modello dinamico

Con semplici passaggi posso riportare il sistema nella forma:

$$\begin{cases} \dot{x}(t) = f(x) + g(x)u \\ y = h(x) \end{cases} \quad \begin{matrix} x = [x \ \dot{x} \ \vartheta \ \dot{\vartheta}]^T \\ u(t) = F \end{matrix}$$

$$f(x) = \begin{bmatrix} x_2 \\ \frac{-b x_2 - mg \sin(x_3) \cos(x_3) + mL \sin(x_3) x_4^2}{(M + m \sin^2(x_3))} \\ x_4 \\ \frac{g(M + m) \sin(x_3) + b x_2 \cos(x_3) - mL \sin(x_3) \cos(x_3) x_4^2}{L (M + m \sin^2(x_3))} \end{bmatrix} \quad g(x) = \begin{bmatrix} 0 \\ \frac{1}{(M + m \sin^2(x_3))} \\ 0 \\ \frac{-\cos(x_3)}{L (M + m \sin^2(x_3))} \end{bmatrix}$$

$y = \vartheta \longrightarrow$  Solo l'angolo dell'asta!



# Pendolo inverso

## Accessibilità

### Accessibilità locale

*Teorema di Chow. Se la dimensione di  $\langle \Delta | \Delta_0 \rangle = n$  in  $x_0$  allora il sistema è small-time localmente accessibile.*

$$\begin{aligned}\Delta_0 &= \text{span}(g) \\ \Delta &= \text{span}(f, g)\end{aligned}$$

$\langle \Delta | \Delta_0 \rangle = n$  è la più piccola  $\Delta$  – *invariante* distribuzione che contiene  $\Delta_0$ . È un'operazione di *filtrazione* e si calcola con l'ausilio delle *Lie bracket*.

$$\begin{aligned}\Delta_0 & \\ \Delta_1 &= \Delta_0 + [\Delta_0, \Delta] \\ \dots &= \dots \\ \Delta_k &= \Delta_{k-1} + [\Delta_{k-1}, \Delta], \\ &\quad \downarrow \text{!} \\ \dim \Delta_k(\bar{x}) &= \dim \Delta_{k+1}(\bar{x})\end{aligned}$$

# Pendolo inverso

## Accessibilità

$$x = [x \ \dot{x} \ \vartheta \ \dot{\vartheta}]^T$$

Cerchiamo di valutare l'intero spazio di accessibilità guardando in dettaglio l'operazione di filtrazione.

Passo iniziale,  $k = 0$

$$\Delta_0 = \text{span}[g]$$

$$g = \begin{bmatrix} 0 \\ L \\ \frac{L}{A} \\ 0 \\ -\frac{\cos(x_3)}{LA} \end{bmatrix}$$

$$A = m \sin^2(x_3) + M$$

Primo passo,  $k = 1$

$$\Delta_1 = \text{span}[g, [f, g]]$$

$$[g, [f, g]] = \begin{bmatrix} \boxed{\begin{matrix} 0 & -\frac{L}{A} \\ L & b \\ \frac{L}{A} & \dots \end{matrix}} & \dots \\ 0 & \frac{\cos(x_3)}{LA} \\ \frac{\cos(x_3)}{LA} & \frac{x_4 \sin(x_3)}{LA} & \frac{b \cos(x_3)}{\dots} \end{bmatrix}$$

Unico minore sempre di rango 2

$$\det(\cdot) = \frac{L}{(m \sin^2(x_3) + M)^2} \neq 0$$

# Pendolo inverso

## Accessibilità

$$x = [x \ \dot{x} \ \vartheta \ \dot{\vartheta}]^T$$

Secondo passo,  $k = 2$

$$\Delta_2 = \text{span} \left[ g, [f, g], \underbrace{[g, [f, g]]}_{\text{blue box}}, \underbrace{[f, [f, g]]}_{\text{blue box}} \right]$$

$$[g, [f, g]] = \begin{bmatrix} 0 \\ * \\ 0 \\ * \end{bmatrix}$$

$$[g, [f, g]]|_{x_0} = \begin{bmatrix} 0 \\ 0 \\ 0 \\ 0 \end{bmatrix}$$

Stesso span del vettore  $g$ .  
Per cui non compete nell'aumentare  
il rango della filtrazione.

$$g = \begin{bmatrix} 0 \\ \frac{L}{A} \\ 0 \\ -\frac{\cos(x_3)}{LA} \end{bmatrix}$$

$$[f, [f, g]] = \begin{bmatrix} * \\ * \\ * \\ * \end{bmatrix}$$

$$[g, [f, g], [f, [f, g]]] = \begin{bmatrix} 0 & * & * \\ * & * & * \\ 0 & * & * \\ * & * & * \end{bmatrix}$$

Il determinante del minore, valutato in  $x_0 = \begin{bmatrix} 0 \\ 0 \\ 0 \\ 0 \end{bmatrix}$  è:  $\det(\cdot) = -\frac{g}{M^3 L^3} \neq 0$  per cui  $\text{rank}(\Delta_2)|_{x_0} = 3$

Solo con coeff. d'attrito  $b \neq 0$

In generale  $\det(\Delta_2)\alpha(x_2, x_3, x_4)$ . Per esempio  $\text{rank}(\Delta_2) = 2$  per valori come  $x = \begin{cases} x_1 = \text{qualsiasi} \\ x_2 = 0 \\ x_3 = 0 \\ x_4 = \pm\sqrt{g/L} \end{cases}$

oppure soluzioni del tipo  $x = \begin{cases} x_1 = \text{qualsiasi} \\ x_2 = 0 \\ x_3 = \pm \arcsin\left(\sqrt{\frac{M}{2M+m}}\right) + k\pi \vee \frac{\pi}{2} + k\pi \text{ (con } k \in \mathbb{Z}) \\ x_4 = 0 \end{cases}$



# Pendolo inverso

## Accessibilità

$$x = [x \ \dot{x} \ \vartheta \ \dot{\vartheta}]^T$$

Terzo passo,  $k = 3$

$$\Delta_3 = \text{span} \left[ g, [f, g], [f, [f, g]], \underbrace{[g, [g, [f, g]]], [f, [g, [f, g]]], [g, [f, [f, g]]], [f, [f, [f, g]]]}_{\Delta_3} \right]$$

$$[g, [g, [f, g]]] = \begin{bmatrix} 0 \\ 0 \\ 0 \\ 0 \end{bmatrix}$$

$$[f, [g, [f, g]]] \Big|_{x_0} = \begin{bmatrix} 0 \\ 0 \\ 0 \\ 0 \end{bmatrix}$$

$$[g, [f, [f, g]]] \Big|_{x_0} = \begin{bmatrix} 0 \\ 0 \\ 0 \\ 0 \end{bmatrix}$$

Queste distribuzioni non sono utili ai fini della filtrazione nel punto di equilibrio.

$$\Delta_3 = [g, [f, g], [f, [f, g]], [f, [f, [f, g]]] = \begin{bmatrix} 0 & * & * & * \\ * & * & * & * \\ 0 & * & * & * \\ * & * & * & * \end{bmatrix}$$

$$\det(\Delta_3) \propto (x_2, x_3, x_4)$$

$$\det(\Delta_3) \Big|_{x_0} = \frac{g^2}{M^4 L^4} \quad \text{assicurandoci che } \text{rank}(\Delta_3) \Big|_{x_0} = 4$$

Tuttavia, per alcuni valori dello stato  $\det(\Delta_3) = 0$ ,  $\text{rank}(\Delta_3) = 3$ , per esempio con  $x = \begin{cases} x_1 = \text{qualsiasi} \\ x_2 = 0 \\ x_3 = 0 \\ x_4 = \pm\sqrt{g/L} \vee \pm\sqrt{g/3L} \end{cases}$

oppure  $x = \begin{cases} x_1 = \text{qualsiasi} \\ x_2 = 0 \\ x_3 = \pm \arccos\left(\sqrt{\frac{M+m}{2M+m}}\right) + k\pi \vee \pm \arccos\left(\sqrt{\frac{3(M+m)}{4M+3m}}\right) + k\pi \quad (\text{con } k \in \mathbb{Z}) \\ x_4 = 0 \end{cases}$

Per questa bisognerebbe procedere nella filtrazione e infatti diventa accessibile

Con altre distribuzioni questa condizione può diventare accessibile



# Pendolo inverso

## Accessibilità

L'algoritmo, implementato in simbolico su Matlab, restituisce la matrice:

$$\Delta = \text{span} \left[ g, [f, g], [f, [f, g]], [g, [g, [f, g]]], [f, [g, [f, g]]], [g, [f, [f, g]]], [f, [f, [f, g]]] \dots [f, [f, [f, [f, g]]]] \right]$$



$$\Delta(x_0) = \text{span} \left[ g, [f, g], [f, [f, g]], [f, [f, [f, g]]], [f, [f, [f, [f, g]]]] \right]$$

$$\Delta(x_0) = \begin{bmatrix} 0 & * & * & * & * \\ * & * & * & * & * \\ 0 & * & * & * & * \\ * & * & * & * & * \end{bmatrix} \text{ il cui rango è } 4$$

**Il sistema è quindi localmente accessibile in  $x_0$ .**

Per il resto della regione, la meccanica del sistema non suggerisce particolari condizioni patologiche per una perdita di accessibilità del sistema.



# Pendolo inverso

## Controllabilità

L'accessibilità è solo *necessaria* per la controllabilità. Dato un sistema localmente accessibile, esso è anche **localmente controllabile** se una delle seguenti condizioni è verificata:

- i)  $f(x) \equiv 0, \forall x \in B_\epsilon(x_0)$ ;
- ii)  $f(x) \in \text{span} \{g_1(x) \cdots g_m(x)\}, \forall x \in B_\epsilon(x_0)$ ;
- iii)  $f(x_0) = 0$  and  $\dim \Delta_L(x_0) = n$ , where  $\Delta_L = \text{span} \{g_i, [f, g_i], \dots, \text{ad}_f^{\mu_i} g_i, \dots\}$ ,  
with  $i = 1, \dots, m$  and for all  $\mu_i \in \mathbb{N}$ ;

Il nostro sistema soddisfa la terza condizione, per cui è anche localmente controllabile



# Pendolo inverso

## Osservabilità

L'**osservabilità** del sistema invece si può valutare calcolando la *codistribuzione di osservabilità* e verificare che valga  $dO = n$ .

$$dO = \text{span} \{ dh(x), dL_f h(x), dL_g h(x), dL_f L_g h(x), \dots \}$$

Con la scelta della funzione d'uscita:

$$y = h(x) = x_3 = \theta$$

si ottiene

$$\text{rank}(dO) = 3 < n$$

$$dO = \begin{bmatrix} 0 & 0 & * & 0 \\ 0 & 0 & 0 & * \\ 0 & * & * & * \\ 0 & 0 & * & 0 \\ 0 & * & * & * \\ 0 & 0 & * & * \\ 0 & 0 & * & * \end{bmatrix}$$

La prima colonna è sempre nulla.

Per cui il sistema non è localmente osservabile, utilizzando quella funzione d'uscita



# Pendolo inverso

## Linearizzazione in feedback I/O

Partendo dal sistema in forma:

$$\begin{aligned}\dot{x} &= f(x) + g(x)u, & x(0) &= x_0 \\ y &= h(x),\end{aligned}$$

L'idea è quella di derivare l'uscita fin quando non compare una dipendenza dall'ingresso  $u$ , ovvero fin quando sono rispettate le condizioni in basso H1 e H2.

$$\dot{y} = \frac{\partial h}{\partial x} \dot{x} = dh(f(x) + g(x)u) = L_f h(x) + L_g h(x) u$$

$$\begin{aligned}\ddot{y} &= \frac{\partial L_f h}{\partial x} \dot{x} = L_f^2 h \\ &\vdots \\ y^{(r)} &= L_f^{(r)} h + L_g L_f^{(r-1)} h u.\end{aligned}$$

$$\mathbf{H1} \quad L_g L_f^i h(x) \equiv 0, \quad i = 0, 1, \dots, r-2$$

$$\mathbf{H2} \quad L_g L_f^{(r-1)} h(x_0) \neq 0$$

# Pendolo inverso

## Linearizzazione in feedback I/O

$$x = [x \ \dot{x} \ \vartheta \ \dot{\vartheta}]^T$$

Calcolando le derivate dell'uscita  $y = \phi_1(x) = x_3 = \theta$  si ottiene che il *grado relativo* del sistema è pari a 2

$$\begin{aligned} y &= \phi_1(x) = x_3 \\ \dot{y} &= L_f \phi_1 + L_g \phi_1 u = x_4 \\ \ddot{y} &= L_f^2 \phi_1 + L_g L_f \phi_1 u \end{aligned}$$

$$\begin{aligned} y &= z_1 = x_3 \\ \dot{y} &= \dot{x}_3 = x_4 \\ \ddot{y} &= \dot{x}_4 = v = \frac{g(M+m)\sin(x_3) + bx_2\cos(x_3) - mL\sin(x_3)\cos(x_3)x_4^2 - \cos(x_3)u}{L(M+m\sin^2(x_3))} \end{aligned}$$

Scelgo quindi come prime due variabili del nuovo sistema:

$$\Phi(x) = \begin{cases} z_1 = x_3 \\ z_2 = x_4 \\ \omega_1 = ? \\ \omega_2 = ? \end{cases}$$



# Pendolo inverso

## Linearizzazione in feedback I/O

$$x = [x \ \dot{x} \ \vartheta \ \dot{\vartheta}]^T$$

Le altre due nuove variabili (per un totale di 4) devono essere indipendenti dalle precedenti e devono avere una dinamica indipendente dall'ingresso, devono cioè rispettare le condizioni:

$$L_g \Phi_i(x) = 0 \quad r+1 \leq i \leq n$$
$$\det \left( \frac{\partial}{\partial x} \begin{bmatrix} \Phi_1(x) \\ \vdots \\ \Phi_r(x) \\ \Phi_{r+1}(x) \\ \vdots \\ \Phi_n(x) \end{bmatrix} \right) \neq 0$$

Scelgo quindi la terza variabile  
 $\omega_1 = \phi_3(x) = x_1$ , ottenendo:

$$L_g \phi_3 = L_g x_1 = [1 \quad 0 \quad 0 \quad 0] \begin{bmatrix} 0 \\ 1 \\ \frac{0}{(M + m \sin^2(x_3))} \\ 0 \\ \frac{-\cos(x_3)}{L(M + m \sin^2(x_3))} \end{bmatrix} = 0$$



# Pendolo inverso

## Linearizzazione in feedback I/O

$$x = [x \ \dot{x} \ \vartheta \ \dot{\vartheta}]^T$$

Per l'ultima, imposto il problema ponendo la derivata l'ultima variabile come:  $\frac{\partial \phi_4}{\partial x} = [a_1 \ a_2 \ a_3 \ a_4]$

Imponendo l'annullarsi di:

$$L_g \phi_4 = [a_1 \ a_2 \ a_3 \ a_4] \begin{bmatrix} 0 \\ 1 \\ \frac{(M + m \sin^2(x_3))}{0} \\ \frac{-\cos(x_3)}{L(M + m \sin^2(x_3))} \end{bmatrix} = 0$$

La quarta variabile quindi è del tipo di cui sopra, a patto che valga la condizione:  $a_2 = \frac{a_4 \cos(x_3)}{L}$

Scelgo  $a_2 = \cos(x_3)$ ,  $a_4 = L$





# Pendolo inverso

## Linearizzazione in feedback I/O

$$x = [x \ \dot{x} \ \vartheta \ \dot{\vartheta}]^T$$

Scelgo quindi come quarta variabile:

$$\omega_2 = x_2 \cos(x_3) + Lx_4$$

Il sistema nelle nuove variabili è quindi:

$$\Phi(x) = \begin{bmatrix} z \\ \omega \end{bmatrix} = \begin{cases} z_1 = x_3 \\ z_2 = x_4 \\ \omega_1 = x_1 \\ \omega_2 = x_2 \cos(x_3) + Lx_4 \end{cases}$$

Con l'ingresso che linearizza la dinamica ottenuto dall'ultima derivata dell'uscita:

$$\ddot{y} = L_f^2 \phi_1 + L_g L_f \phi_1 u$$

$$u = -\frac{L_f h}{L_g L_f^2 h} + \frac{v}{L_g L_f^2 h}$$



$$u = \frac{g(M+m) \sin(x_3) + bx_2 \cos(x_3) - mL \sin(x_3) \cos(x_3) x_4^2}{\cos(x_3)} - \frac{L(M + m \sin^2(x_3))}{\cos(x_3)} v$$

$$v(z) = -kz$$



# Pendolo inverso

## Zero Dinamica

Il sistema è stabile anche internamente?

$$\begin{cases} \dot{z}_1 = z_2 \\ \dot{z}_1 = \frac{g(M+m)\sin(z_1) + b\omega_2\cos(z_1) - mL\sin(z_1)\cos(z_1)z_2^2 - \cos(z_1)u}{L(M+m\sin^2(z_1))} \\ \dot{\omega}_1 = \frac{\omega_2 - Lz_2}{\cos(z_1)} \\ \dot{\omega}_2 = \frac{\sin(z_1)(z_2^2 - \omega_2 z_2 + g\cos(z_1))}{\cos(z_1)} \end{cases}$$

→ Dinamica stabile dalla retroazione dell'uscita

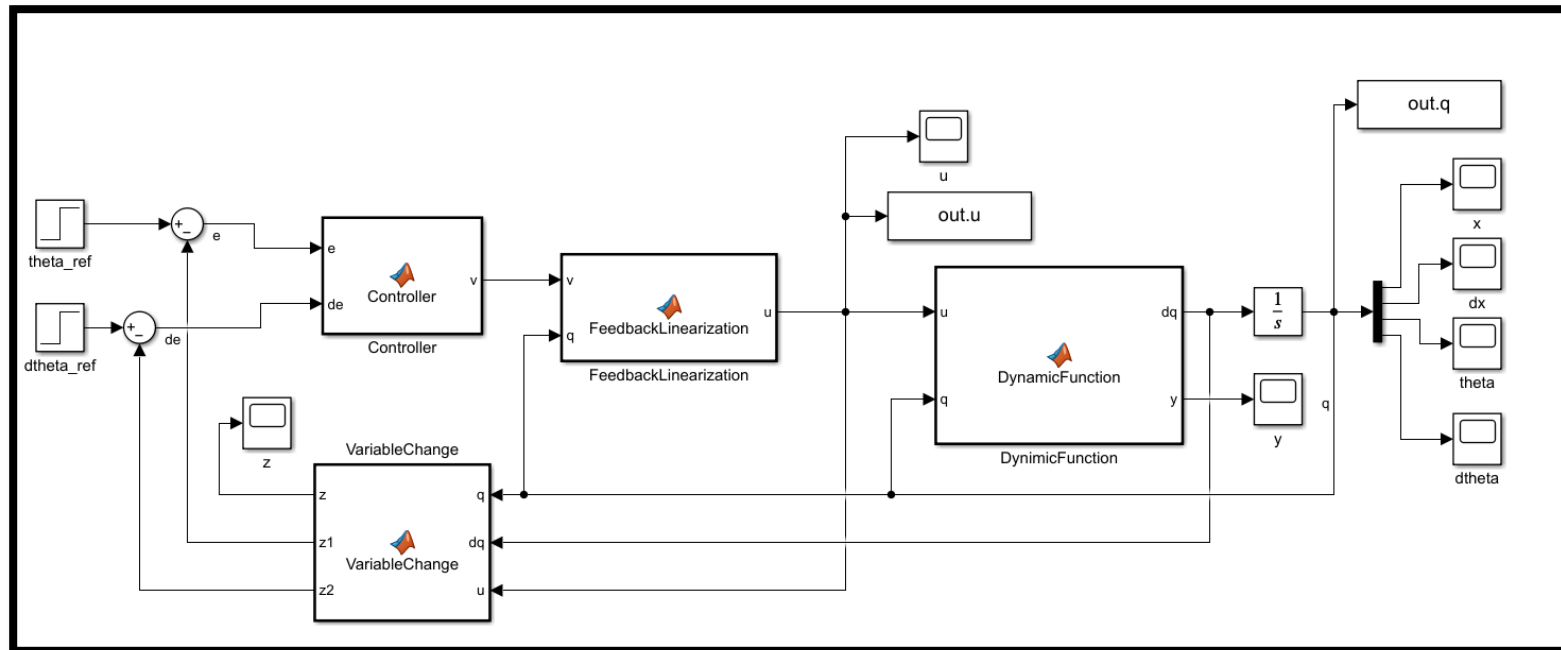
→ ?  
Variabili non osservabili

Calcolando il valore della dinamica nel punto di equilibrio con le uscite nulle, si ottiene:  $\begin{cases} \dot{\omega}_1 = \omega_2 \\ \dot{\omega}_2 = 0 \end{cases}$

Tale comportamento è quello tipico di un doppio integratore, per cui il sistema **non** risulta anche internamente stabile, ma solo esternamente.

# Pendolo inverso

## Schema Simulink



Condizioni iniziali:

$$q_0 = [0 \quad 0 \quad \theta_0 \quad 0]$$

Parametri del sistema:

$$\begin{cases} g = 9,81 \text{ m/s}^2 \\ l = 0,50 \text{ m} \\ M = 1,0 \text{ kg} \\ m = 0,5 \text{ kg} \end{cases}$$

$$v = -K z = -K_P z_1 - K_D z_2 \longrightarrow v = K_P (\theta_{ref} - \theta) + K_D (\dot{\theta}_{ref} - \dot{\theta})$$

# Pendolo inverso

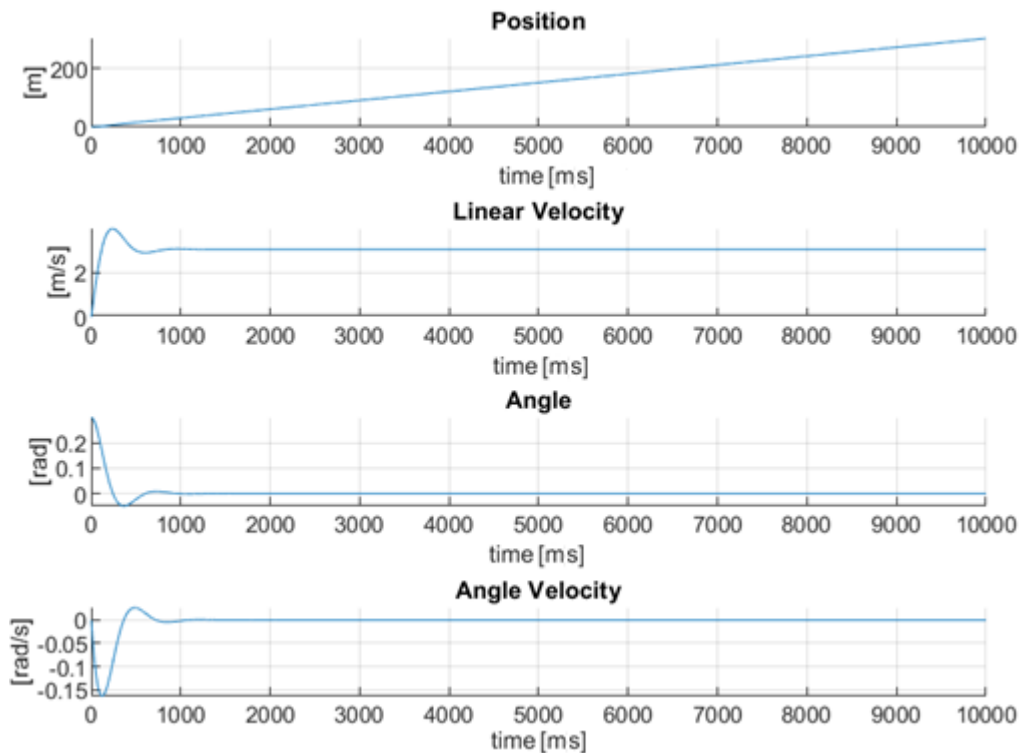
## Risultati simulazione

$$K_P = 1 \quad K_D = 1$$

$$q_0 = [0 \quad 0 \quad 0,3 \quad 0]$$

$$q_{fin} = [0 \quad 0 \quad 0 \quad 0]$$

$$K_P = 3,5 \quad K_D = 1$$



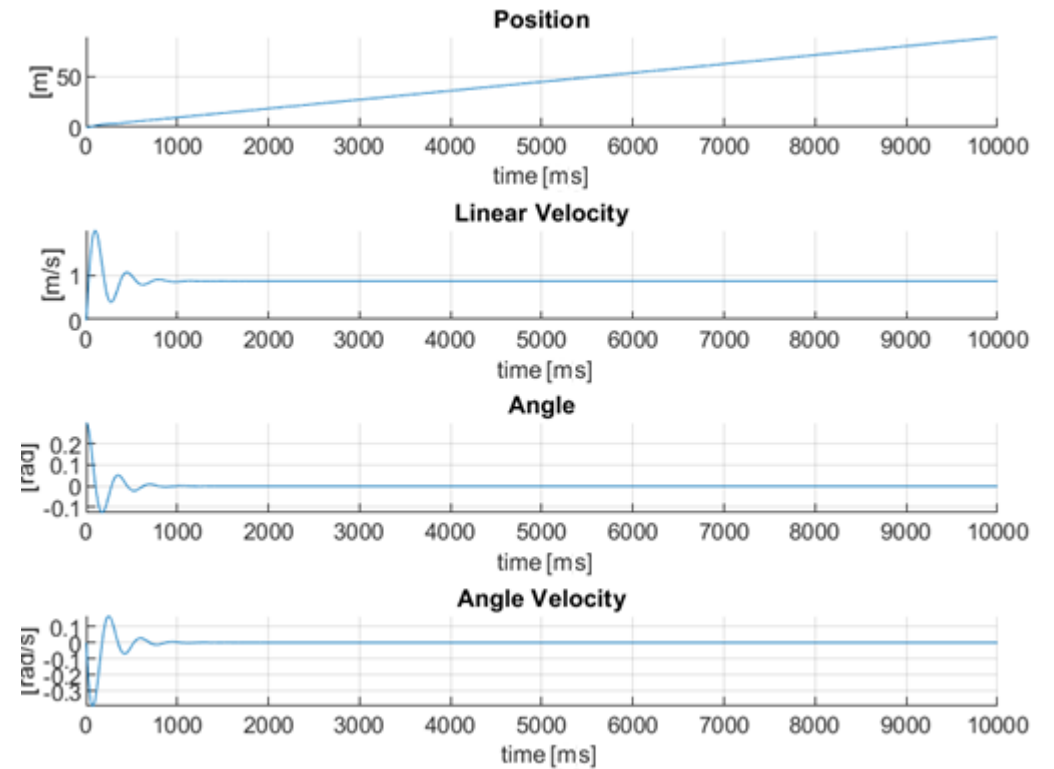
!

L'attrito non  
attenua questo  
effetto

$\neq 0$

$\rightarrow 0$

$\rightarrow 0$





# Pendolo inverso

## Risultati simulazione

Stesso comportamento ma con variabili scambiate se si retroaziona la  $x$  e  $\dot{x}$ .

C'è completa osservabilità linearizzando rispetto un'uscita che contiene tutte le variabili di stato.

Resta il problema di trovare tale espressione...

### Metodi alternativi<sup>[2]</sup>

Per assicurare che la parte non osservabile sia stabile, la si retroaziona come in una retroazione lineare semplice.

$$v = -K z - \alpha x - \beta \dot{x} = -K_P \theta - K_D \dot{\theta} - K_x x - K_{\dot{x}} \dot{x}$$

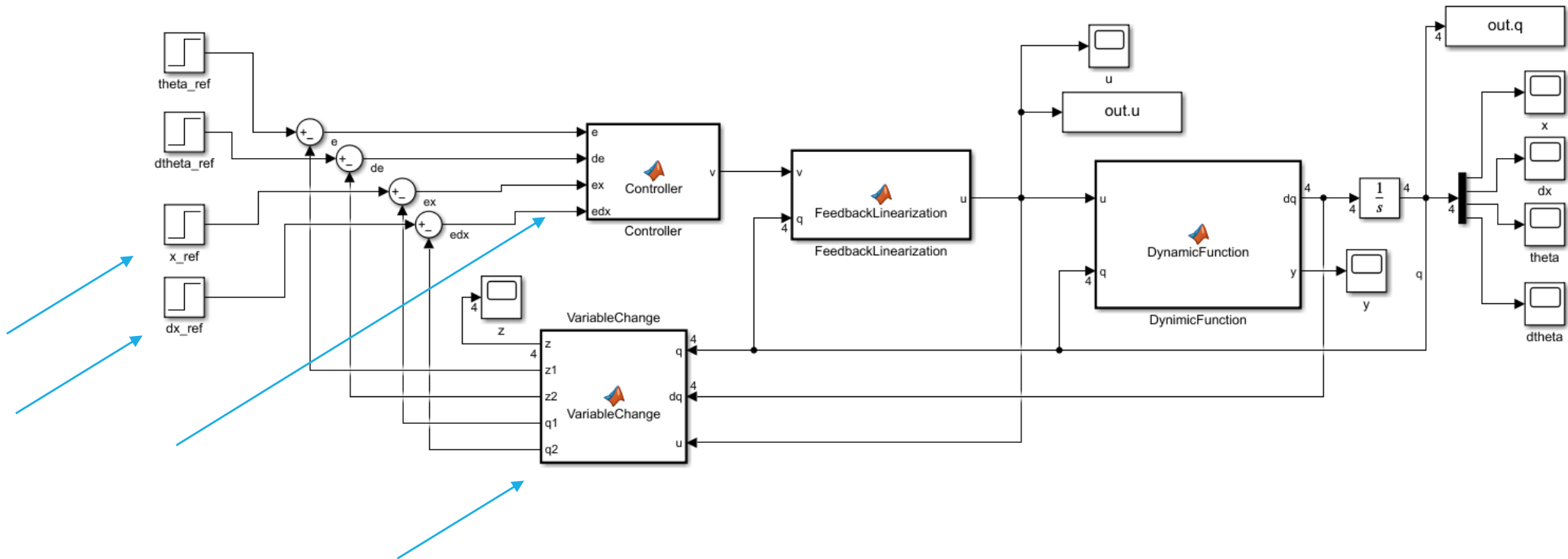
Oppure una retroazione con *guadagno variabile in base al valore degli stati*<sup>[2]</sup>:

$$v = -K z - \rho(\alpha x - \beta \dot{x}) \quad \text{con} \quad \rho(x_1, x_2, x_3, x_4)$$

[2] Dong-Hae Yeom, and Jin-Young Choi, "Angle and Position Control of Inverted Pendulum on a Cart Using Partial Feedback Linearization", School of Electrical Engineering and Computer Science, Seoul National University, Seoul, Korea, 2003

# Pendolo inverso

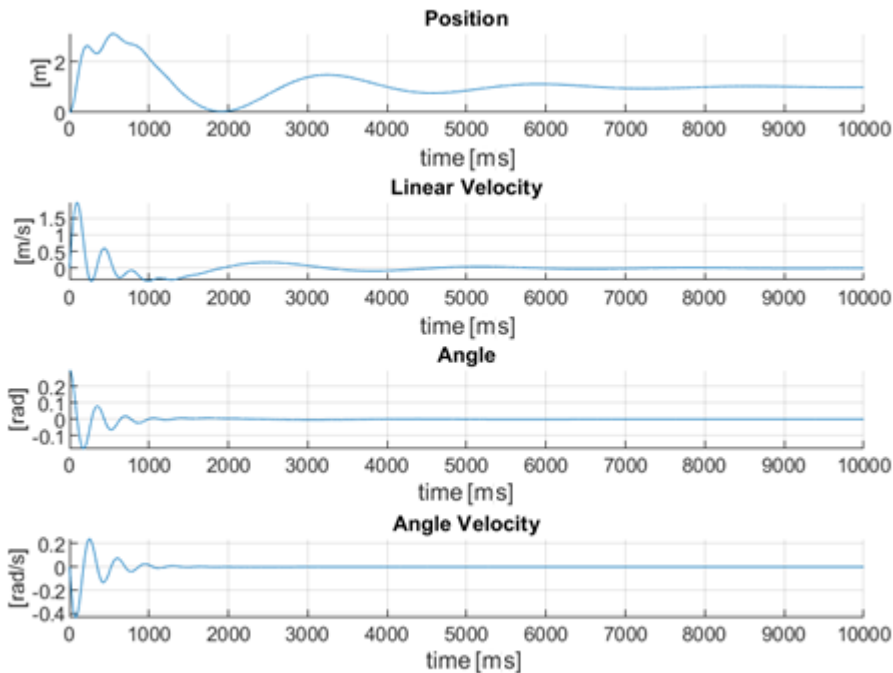
## Schema Simulink



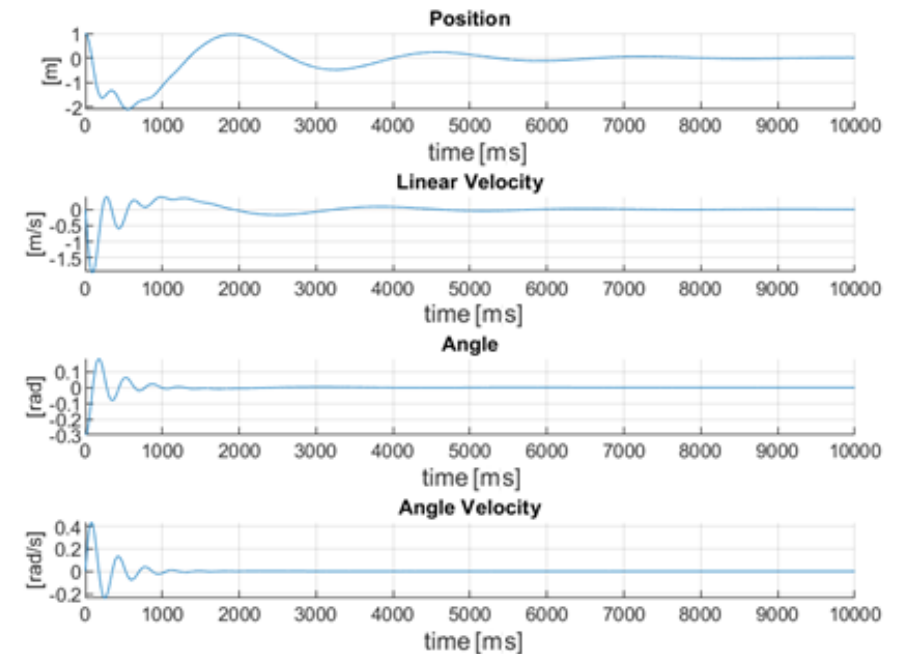
# Pendolo inverso

## Linearizzazione in feedback ibrida

$$K_P = 3,5 \quad K_D = 0,8 \quad K_x = 0,02 \quad K_{\dot{x}} = 0,04$$



$$q_0 = [0 \quad 0 \quad 0,3 \quad 0] \quad q_{fin} = [1 \quad 0 \quad 0 \quad 0]$$



$$q_0 = [1 \quad 0 \quad -0,3 \quad 0] \quad q_{fin} = [0 \quad 0 \quad 0 \quad 0]$$



# Conclusioni

---

Scegliendo quindi di retroazionare il sistema con il **solo** angolo dell'asta o la posizione, il sistema risulta non completamente osservabile e stabile solo esternamente.

Non è comunque esclusa la possibilità di trovare una combinazione delle uscite viste precedentemente che renderebbe il sistema completamente osservabile e controllare sia la posizione del carrello che angolo dell'asta.

---

Una possibile soluzione è adottare un **metodo ibrido** che assicura comunque una regione di stabilità più grande e migliore di quella che si otterrebbe solo con la linearizzazione standard<sup>[2]</sup>.





# Bibliografia

---

- [1] Appunti di Controllo dei Robot, A.Bicchi, P. Salaris, G. Grioli, M. Garabini, A. Settini, A. Fagiolini et al., Pisa, 2021
- [2] Dong-Hae Yeom, and Jin-Young Choi, “Angle and Position Control of Inverted Pendulum on a Cart Using Partial Feedback Linearization”, School of Electrical Engineering and Computer Science, Seoul National University, Seoul, Korea, 2003
- [3] Appunti di Fondamenti di Automatica II , A.Bicchi, Pisa, 2022